

MEASUREMENTS AND ANALYSE OF WIND EFFECTS ON BUILDINGS
AND TRACKSIDE STRUCTURES SITUATED IN GROUPS
MERANIE A ANALÝZA ÚČINKOV VETRA NA BUDOVÁCH A DOPRAVNÝCH
KONŠTRUKCIÁCH SITUOVANÝCH V SKUPINÁCH

Feranec V., Feranec T.

Abstract

Current Codes of Practice and standards give no guide to the designer for assessing the wind load on buildings and trackside structures in the nearby structures. The paper describes results of local pressures in simulated winds on buildings and trackside structures including proximity effects. The experimental measurements were carried out at the Boundary Layer Wind Tunnel of the University of Transport and Communication Technology in Žilina.

1. ÚVOD

Účinky susedných budov a konštrukcií na zataženie vetrom rovnakých konštrukcií neboli experimentálne overované v minulosti, až po viacerých haváriách skupinových stavieb /napríklad deštrucie chladiacich veží vo Ferrybridge a pod./. Zataženie vetrom pre tieto budovy a konštrukcie uvádzané v normách má pôvod zo skúšok vo veterňach tuneloch na samostatne stojacich budovách alebo konštrukciách a neuvádza žiadne smernice, okrem odporúčania vykonať pre konkrétnu situáciu experimentálnu, či inú štúdiu, pre odhad zataženia za podmienok susedných konštrukcií /za podmienok buffetingu/. Článok uvádza výsledky experimentálnych skúšok vo veternom tuneli za prítomnosti susedných konštrukcií pri rôznej relatívnej vzdialenosťi a pôdorysného usporiadania. Výsledky poukazujú na podstatné rozdielne účinky pri rôznej priestorovej situácii. [1]-[2]

Na podklade týchto výsledkov, experimentálne skúšky začania vetom budov a konštrukcií v blízkosti ciest, boli vykonané vo veternom tuneli VŠDS v Žiline.

2. EXPERIMENTÁLNE ZARIADENIE A MERANIE ÚČINKOV VETRA

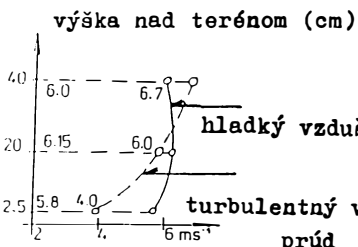
2.1 Veterný tunel s medznou atmosferickou vrstvou

Veterný tunel má skušobný priestor 1m široký, 0,85m vysoký, s 3m náveterňím terénom a celková dĺžka tunela je 5m.

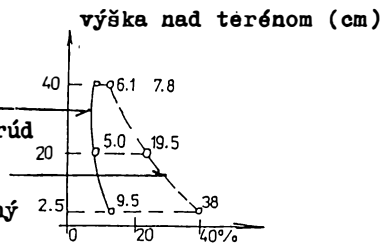
Turbulentná atmosferická medzna vrstva vo veternom tuneli je modelovaná viacerými generátormi turbulencie doskového a pílového tvaru, ktoré sú umiestené na začiatku testovacej časti tunela za súčasného použitia hladkého prípadne drsného terénu /podlahy tunela/, ktorý je vytvorený z plastických 7cm kociek naplnených vodou pri šachovnicovom usporiadaní s rôznou drsnosťou.

2.2 Meranie rýchlosťi a turbulencie

Rýchlosť vetra a turbulencia vetra v tuneli bola meraná s anemometrami s tepelnými drôtikovými sondami. Výsledky strednej zložky rýchlosťi a intenzity turbulencie sú na obr. 1 a 2.



Obr.1 Profil strednej zložky rýchlosťi vetra



Obr.2 Profil intenzitity turbulencie

2.3 Meranie stálych miestnych tlakov

Meranie stálych miestnych tlakov bolo vykonané pomocou sklo-nového viacmiestného manometra. Modely budov a dopravných kon-štrukcií boli vyrobené z plexiskla so zamontovanými tlakovými senzormi. Miestne tlaky boli vyjadrené pomocou tlakových súči-nitelov $C_{\bar{p}_i}$ podľa vzorca

$$C_{\bar{p}_i} = \frac{\bar{p}_i - \bar{p}_o}{q_o}$$

kde \bar{p}_i je stredná zložka tlaku v i-tom mieste na modeli

\bar{p}_o miestny statický tlak vo voľnom nabiehajúcim prúde vo výške horného okraja modela (referenčný statický tlak)

q_o $(1/2 \rho \bar{v}_o^2)$ dynamický tlak vo voľnom nabiehajúcim prúde vo výške horného okraja modela (referenčný dyna-mický tlak)

\bar{v} stredná zložka rýchlosťi

ρ hustota vzduchu

2.4 Meranie nestálych (fluktuačných) tlakov

Fluktuačné tlaky boli merané pomocou nízkotlakových snímačov typu 51 F 32 fy DISA. Snímače umožňujú merat' stále a nestále tlaky od $1 \text{ Pa (N/m}^2\text{)}$ do 7 kPa .

Nestále tlaky boli vyjadrené smerodajnou odchylkou (rms premen-nej zložky) tlakového súčinitela $C_{\hat{p}_i}$ podľa vzorca

$$C_{\hat{p}_i} = \frac{\hat{p}_i}{q_o}$$

kde \hat{p}_i je smerodajná odchylka tlaku v i-tom mieste na modeli

a maximálnym tlakovým súčinitelom $C_{\hat{p}_i}$ a minimálnym tlakovým sú-činitelom $C_{\check{p}_i}$ podľa vzorov

$$C_{\hat{p}_i} = \frac{\hat{p}_i}{q_o}$$

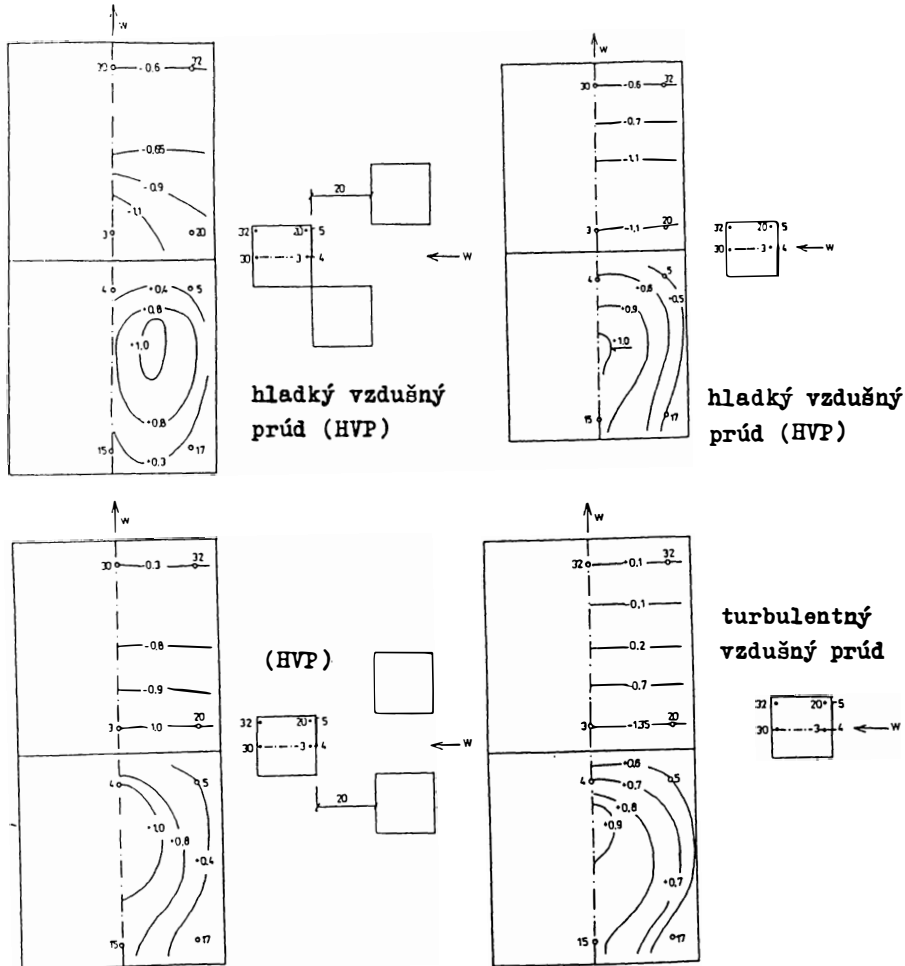
$$C_{\check{p}_i} = \frac{\check{p}_i}{q_o}$$

kde \hat{p}_i je max. špičkový tlak, a \check{p}_i je minimálny špičkový tlak.

3. EXPERIMENTÁLNE VÍSLEDKY MIESTNÝCH TLAKOV VO VZDUŠNOM PRÚDE

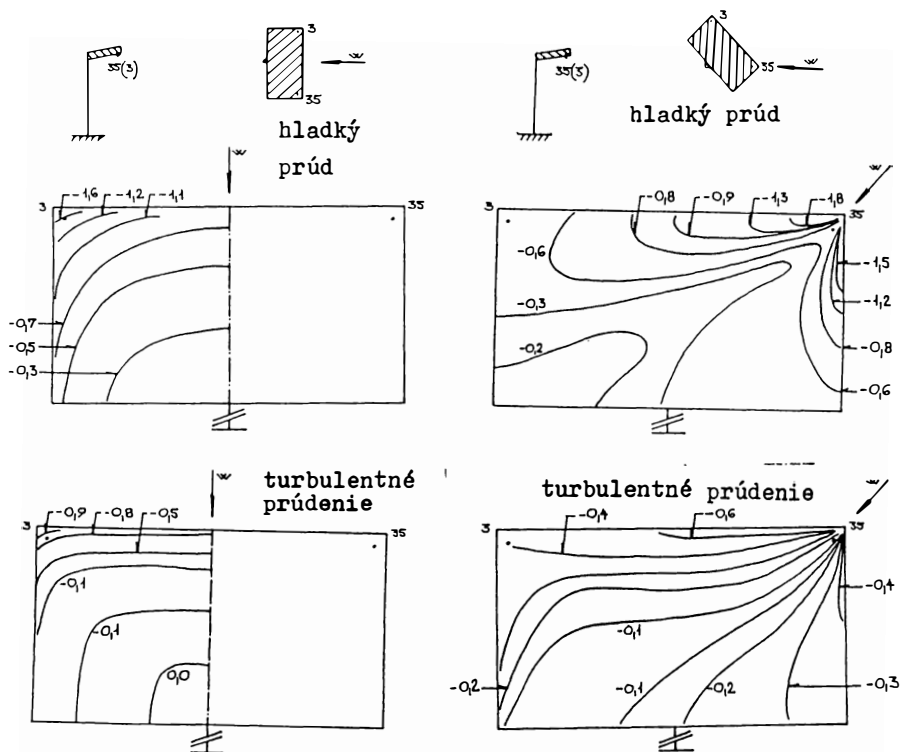
3.1 Modelové výsledky na budovách

Niektoré výsledky miestnych stálych zložiek tlakov na modeloch budov v skupinách sú uvedené na obr. 3.



Obr. 3 Výsledky tunelových skúšok stredných hodnôt súčinitelov na modeli kockovej budovy v hladkom a turbulentnom simulovanom vetre

3.2 Modelové výsledky na konštrukciách v blízkosti cest
Niektoré výsledky miestnych tlakov na modeloch konštrukcií
v blízkosti cest sú uvedené na obr. 4.



Obr. 4 Modelové výsledky miestnych tlakov od simulovaného
hladkého a turbulentného vetra na prístrešku podľa
schémy

4. ZÁVER

Tunelové výsledky na modeloch budov a dopravných konštrukciách pri skupinovom usporiadaní ukazujú na podstatné rozdiely v miestnych tlakoch v porovnaní s výsledkami na modeli samostatnej konštrukcie.

LITERATÚRA

- [1] Stathopoulos T.: Adverse Wind Loads on Low Buildings Due to Buffeting. *Journal of Str. Eng.*, Vol. 110, No. 10, October 1984, pp. 2374 - 2392.
- [2] Hussain M. and Lee B.E.: A Wind-Tunnel Study of the Mean Pressure Forces, Acting on Large Groups of Low-Rise Buildings, *Journal of W.E.I.A.* Vol. 6, 1980, pp. 207-225.
- [3] Feranec V. and Feranec T.: Proximity effects on local wind pressures of buildings and structures. Proc. of the East European Conference on Wind Engineering, 4-8 July 1994, Warsaw. /EECWE 94/.
- [4] Feranec V. and Feranec T.: Wind Surface Pressure Fields on Buildings and Trackside Structures. Proc. of the Sixth asian Congres of Fluid Mechanics, May 22-26, 1995, Singapore, Nanyang Technological University, Singapore.
- [5] Fischer O., Koloušek V., Pirner M. and Náprstek J.: Wind Effects on Civil Engineering Structures, Academia-Elsevier, 1983.
- [6] Isyumov N. and Davenport A.G.: A Study of Wind Induced Exterior Pressures and Suctions on Lower Accommodation Levels of CN Tower, Toronto, BLWT-SS2-75, The University of Western Ontario. London, Canada, June, 1975.
- [7] Ruscheweyh H. *Dynamische Windwirkung an Bauwerken*. Bauverlag, Wiesbaden und Berlin, 1982.
- [8] Kazakevich M. I.: *Aerodynamics of Bridges*. Transport, Moscow. 1987.
- [9] Letchford C.W. and Holmes J.D.: Wind loads on free-standing walls in turbulent boundary layers. *Journal of WEIA* 51/1994/, Elsevier Amsterdam.
- [10] Feranec V. and Feranec T.: Steady and unsteady local wind pressures on groups of buildings. Proc. of the First International Conference on Flow Interaction. Sept. 5-8 1994, University of Hong Kong.
- [11] DISA Information. Herlev, Skovlunde, Denmark, 1990.
- [12] Feranec T.: Wind effects on buildings and trackside structures in groups. RILEM Conference. TU Košice, Sept. 1995. Vladimír Feranec, Prof. Ing. DrSc., Tino Feranec, Ing. Katedra mechaniky, Stavebná fakulta, Vysoká škola dopravy a spojov, 01026 Žilina, Moyzesova 20, Slovenská republika Tel. 089-43343, FAX 089-620023